

319-⑩ ハイブリッドストレスモデルによる極限解析
(モールクーロンの式に従う材料について)

琉球大学 正員 伊良波繁雄

1. まえがき

崩壊荷重の上界を求める手法の一つに川井によって開発されたバネ剛体モデルがある。このモデルは固体を有限個の剛体と剛体を連結するバネによって表現し、固体の変形や力の伝達はバネの変形によって行われるものとしている。これで要素境界のむりや分離の表現が簡単となる。上界は降伏応力に達したバネを次々に切断することにより求められる。バネ剛体モデルと同様に要素間のむりや分離が簡単に取り扱えるモデルとして、渡辺によって、Fig-1 に示すように辺中央に節点を有するハイブリッドストレスモデルが開発された。この要素は応力場を一次式に仮定してひずみエネルギー、応力共バネ剛体モデルより高い信頼性を有している。本研究では渡辺によって開発されたハイブリッドストレスモデルをコンクリート、土、岩等のモールクーロンの式に従う材料の上界を求める方法について報告する。

2. 基礎理論

ハイブリッドストレスモデルの変分原理⁽¹⁾は

$$\Pi_{CH} = \sum_n (\int_{\text{var}} B(\theta_{ij}) dx dy - \int_{\text{var}} U_i T_i + \int_{\text{var}} U_i \bar{T}_i dS) \quad (1)$$

で与えられる。ここに $B(\theta_{ij})$ はコンプリメンタリー・エネルギーで、 U_i : 变位、 T_i : 応力、 $\bar{T}_i = \theta_{ij} T_j$ 、 θ_{ij} : 方向余弦、 dS : 外力である。 \sum は要素全部の和を意味する。Fig-1 に示すように全体座標とし、且し局部座標を要素境界ごとに ℓ, m で定義すれば応力、变位についてそれぞれ次式が成立する。

$$T_i = \theta_x \ell^2 + 2\theta_y \ell m + \theta_y m^2, \quad \theta_x = \theta_x \ell^2 + \theta_y \ell^2 - 2\theta_y \ell m, \quad T_{as} = -(\theta_x - \theta_y) \ell m + \theta_y (\ell^2 - m^2) \quad (2)$$

$$U_x = \ell U - m V, \quad U_y = m U + \ell V \quad (3)$$

ここで ℓ, m は方向余弦、 U, V はそれを x, y 方向の変位である。 U, V は要素境界の二方向、 S 方向の変位を示す。式(2),(3)を用いて式(1)の右辺第2項の積分を変換すると、

$$\int_{\text{var}} U_i T_i dS = \int_{\text{var}} ((\ell U - m V)(\theta_x \ell^2 + \theta_y \ell m) + (m U + \ell V)(\theta_y \ell^2 - \theta_x \ell m)) dS = \int_{\text{var}} (U T_{as} + V \bar{T}_{as}) dS \quad (4)$$

となる。式(1)の右辺第3項についても同様に計算できるので、式(1)は次式のように表わされる。

$$\Pi_{CH} = \sum_n (\int_{\text{var}} B(\theta_{ij}) dx dy - \int_{\text{var}} (U T_{as} + V \bar{T}_{as}) dS + \int_{\text{var}} (U \bar{T}_{as} + V T_{as}) dS) \quad (5)$$

ここで渡辺によって導かれた要素の剛性マトリックスを得るために応力場、変位場を次式のように仮定する。

$$\theta_x = \beta_0 + \beta_1 x + \beta_2 y, \quad \theta_y = \beta_3 + \beta_4 x + \beta_5 y, \quad T_{as} = -\beta_2 y - \beta_4 x + \beta_7 \quad (6)$$

$$U = U_0 + \theta_0 S, \quad V = V_0 \quad (7)$$

式(7)で U_0, θ_0, V_0 は点 S の変位を意味する。

要素境界にむりが生じ、むりの間 θ_{as} と θ_{in} の関係は Fig-2 に示すモールクーロンの式が成立しているとすれば、増分形で示せば次式を満たねばならない。

$$\theta_{as} \pm C_0 \pm \theta_{in} = 0 \quad (8)$$

式(8)をラグランジエの未定乗数 λ を使って式(5)に加えると

$$\Pi_{CH} = \sum_n (\int_{\text{var}} B(\theta_{ij}) dx dy - \int_{\text{var}} (U T_{as} + V \bar{T}_{as}) dS + \int_{\text{var}} (U \bar{T}_{as} + V T_{as}) dS - \int_{\text{var}} \lambda (\theta_{as} \pm C_0 \pm \theta_{in}) dS) \quad (9)$$

となる。ここで応力、変位は増分量であるが、増分記号 Δ を省略して示してある。むりが生じている時でもむり線での θ_{in} は連続である。 θ_{as}, θ_{in} がモールクーロンの式を満たすければ当然にも連続になる。したがってむりが生じている時には $V = 0$ とする。応力場と変位場を仮定し剛性マトリックスを導く方法を示す。応力場は式(6)のよう仮定し、これを式(10)のように表わす。歪と応力の関係式は材料定数マトリックスを $[C]$ とし式(11)で表わす。

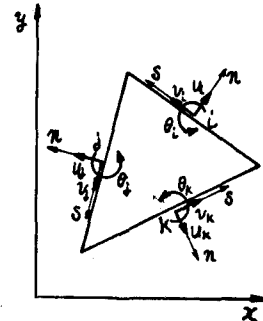


Fig-1 2次元ハイブリッドストレスモデル

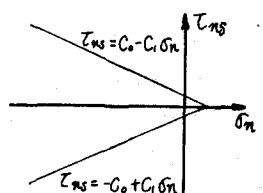


Fig-2 モールクーロンの式

$$\{\mathbf{f}\} = [\mathbf{B}]\{\beta\} \quad (10)$$

$$\{\mathbf{e}\} = [\mathbf{C}]\{\theta\} \quad (11)$$

式(10), (11)を利用して式(9)の右辺第1項の積分は

$$\int_{V_H} B(\mathbf{f}_{ij}) dx dy = \frac{1}{2} \{\beta\}^T [\mathbf{H}] \{\beta\} \quad (12)$$

ここに $[\mathbf{H}] = \int_{V_H} [\mathbf{C}] [\mathbf{B}] dx dy$, $\{\beta\} = \{\beta_1, \beta_2, \beta_3, \beta_4, \beta_5, \beta_6, \beta_7\}$ である。式(9)の右辺第2項は式(2), (6), (7)を用いて

$$\int_{S_{sh}} (U \bar{f}_{ns} + V \bar{t}_{ns}) dS = \{\beta\}^T [\mathbf{G}] \{U\} \quad (13)$$

となる。ここに $\{U\} = \{u_1 u_2 \theta_1 u_3 u_4 \theta_2 u_5 u_6 \theta_3\}$ である。 $[\mathbf{H}], [\mathbf{G}]$ の具体的な内容については参考文献(1)を参照して欲しける。外力を \bar{F} とすると式(9)の右辺第3項は

$$\int_{S_{sh}} (U \bar{f}_{ns} + V \bar{t}_{ns}) dS = \{U\}^T [\bar{F}] \quad (14)$$

となる。式(9)の S_{sh} での積分は式(2)を用いて

$$\begin{aligned} \int_{S_{sh}} \beta^T (\bar{f}_{ns} \pm C_1 \bar{t}_{ns}) dS &= \{\beta\}^T \int_{S_{sh}} \pm C_1 l^2 - lm \chi(l, l^2 - lm) - y(\pm 2lmC_1 + l^2 - m^2) \\ &\pm (l^2 - lm) \pm C_1 m^2 + lm \chi(l, m^2 + lm) y(l, m^2 + lm) - \chi(l, 2lmC_1 + l^2 - x^2) \\ &\pm 2lmC_1 + (l^2 - m^2) \beta^T dS \end{aligned} \quad (15)$$

となる。1個の三角形について3個所が2つ、3個所あるなら式(15)の積分はその数だけ実行する。したがって下をベクトルとして

$$\int_{S_{sh}} \beta^T (\bar{f}_{ns} \pm C_1 \bar{t}_{ns}) dS = \{\beta\}^T [\mathbf{G}] \{T\} \quad (16)$$

とする。式(12), (13), (14), (16)を式(9)に代入すれば

$$\pi_{sh} = \frac{1}{2} \{\beta\}^T [\mathbf{H}] \{\beta\} - \{\beta\}^T [\mathbf{G}] \{U\} - \{U\}^T [\bar{F}] - \{\beta\}^T [\mathbf{G}] \{T\} \quad (17)$$

となる。ここで $\{\beta\}$ に関する停留条件より

$$\{\beta\} = [\mathbf{H}]^{-1} ([\mathbf{G}] \{U\} + [\mathbf{G}] \{T\}) \quad (18)$$

となり、これを式(17)に代入し $\{U\}, \{T\}$ について停留条件を求めると

$$[K_{11}] \{U\} + [K_{12}] \{T\} = \bar{F}, [K_{21}] \{U\} + [K_{22}] \{T\} = 0 \quad (19)$$

となる。ここに $[K_{11}] = [\mathbf{G}]^T [\mathbf{H}]^T [\mathbf{G}]$, $[K_{21}] = [\mathbf{G}]^T [\mathbf{H}]^T [\mathbf{G}]$, $[K_{12}] = [\mathbf{G}]^T [\mathbf{H}]^T [\mathbf{G}]$, $[K_{22}] = [\mathbf{G}]^T [\mathbf{H}]^T [\mathbf{G}]$ である。式(19)から $\{T\}$ を消去すれば

$$[K_{11}] - [K_{12}] [K_{22}]^{-1} [K_{21}] \{U\} = \bar{F} \quad (20)$$

となり。式(20)に3個所では $U = 0$ として計算を行う。

3. 解析例

Fig-3は基礎の支持力の問題を解いたもので荷重変位曲線をプロットした図である。摩擦係数が 0.1, 0.2 の時は文献(4)より押え荷重を無視した時の上界 $q_u^* = C_0 C_1 \mu \left(\tan(\frac{\pi}{4} + \frac{\mu}{2}) \exp(\pi \tan \mu) - 1 \right)$ ここに q_u^* : 支持力, μ : 摩擦角, C_0 : 粘着力と比較した。摩擦角が大きくなると誤差も大きくなるので要素分割を変える必要がある。左の要素分割は文献(3)を参考にした。Fig-4はコンクリートブロックの割裂の問題を取り扱ったものである。図は左だけを描いた。hを2~6cmまで変え計算したところ、hが3~4cmの時に最小の荷重を示している。文献(5)に載っている式を使って最小値を求めるところ 20.0 kg/cm^2 となりハイブリッドストレスモデルによる値 323.4 kg/cm^2 に近い。

4. 謝辞

本研究にあたり貴重な御助言をいただいた、東大、川井忠彦教授、三菱総合研究所、渡辺正明氏、琉球大学、具志幸昌教授、和仁屋晴謙教授に深く感謝いたします。

参考文献 (1)川井忠彦編“物理モデルによる連続体力学諸問題の解析(第2回)” 生研セミナー、(2)葛津久一郎“弾性学の支分原理概論”筑風館、(3)工藤英明、東大航研集報、1958年(4)山口柏樹“土の力学”共立出版、(5)木永保美、石丸麟太郎“組み合わせ応力を受けるコンクリート材の動力学的解析(40.3)” 建築学会論文報告集、No. 220

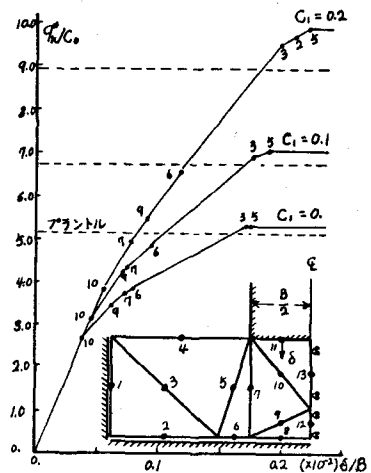


Fig-3 基礎の支持力

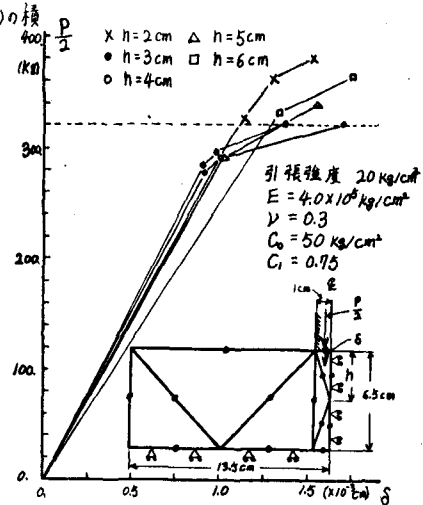


Fig-4 コンクリートブロックの割裂